

京都大学工学部 正員 皇 昭治郎
京都大学大学院 学生員 ○伊勢行介郎

1. まえがき

各種のしゃんせつ工事がばれんせつ土による埋立工事に使用されるしゃんせつ船のうち、主力をなすのは非航式のカッタ付きポンプ船である。船舶の大型化ならびに臨海土地造成の大規模化にともない、ポンプ船は最近とみに大型化の傾向がみられる。また一方、施工条件の悪化により、ポンプ船を海上盤しゃんせつ、さらに一部では岩盤しゃんせつにまで供する必要が生じている。そのためにはカッタ、カッタモーター、ラバー、ポンピング等に各種の工夫がなされている。特に、カッタによる掘削、粉碎能力とポンプによる輸送能力の改善が求めることはいうまでもない。本報はカッタの掘削機構を理論的、実験的に明らかにし、各種土質条件に適応できるカッタの形状、動力ならびに運動制御の方法を見出さんとするものである。

2. カッタの掘削機構について

一般にカッタは回転方向が一定（船体側からみて右回転のものが多い）で、左右両スクリーニングの往復運動により掘削が行われる。したがって、右スクリーニングの場合、刃は地盤を切り下げるよう、左スクリーニングの場合、地盤を切り上げるように掘削する。このように、左右のスクリーニング方向で、掘削の機構が全く異るため、左右とも同一の回転数、スクリーニング速度で運動した場合、掘削に要するトルク、吸入効率等に大きな差が認められる。したがって同一のポンプ船を各種の土質条件に適用する場合、回転数、スクリーニング速度の制御可能な方式が求められる。

掘削中に刃先の掘削軌跡は、軸心を通じてスクリーニング方向をX軸とし、それと直角方向にY軸とすれば

$$\begin{cases} x = S \cdot t + \frac{D}{2} \sin 2\pi n t \\ y = \frac{D}{2} \cos 2\pi n t \end{cases} \quad S: \text{スクリーニング速度 (cm/sec)}, \quad D: \text{カッタ外径 (cm)} \\ n: \text{カッタ回転数 (rev/sec)}, \quad t: \text{掘削時間 (sec)}$$

で表わされる。ここで、 $K = \frac{S}{n \cdot D}$ とおいた値が同じであれば軌跡は相似となるので K は軌跡を決定するパラメータである。次に、1枚の刃が切取る土の水平方向の厚さは S、n と刃数 N により $l = \frac{S}{n \cdot N}$ と表わされる。刃の掘削速度は $V = \sqrt{u^2 + S^2 + z u S \cos 2\pi n t}$, $u = \pi n D$: 周速であるが、周速 u に比べて S が小であるので近似的には $V = \pi n D$ で表わせる。

3. 実験装置、試料および実験方法

実験装置は図-1 に示す機器を用いるもので、幅 23cm、長さ 400cm、深さ 50cm の水槽上を走行する台車に、直径 3.5cm の吸入用鉄管を設置し、吸入管を軸として回転するカッタヘッドをチエーン運動によって変速モーターで駆

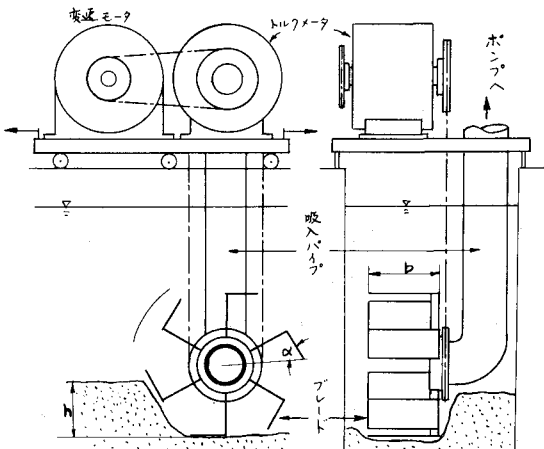


図-1. 実験装置

動させらるものである。カッタの諸元は、最大外径18cm、刃長8cm、刃幅5cm、振削角 α は45°、60°、70°に可変、また、刃を取替えることにより刃にむき角を与えることも可能である。カッタにより振削された土砂は、(P)ポンプにより吸入管を通じて堆送される。モータに連動するトルクメータにより振削トルクを、台車に設けたけん引計により台車のけん引力(ポンプ船のスタンゲワイヤにかかる張力に相当)を測定する。吸入した土砂量は堆送管末端の砂衡装置によって測定する。

実験に用いた試料は豊浦標準砂で、水中で振動により締固めう。

振削角 α 、スラング速度 S 、回転数 n を段階的に変更して、

その節度けん引力、トルク、吸入土量を測定する。現用のポンプ船のうち約400隻のカッタ諸元について整理した結果、

回転数：9.5～18.0 rpm、スラング速度：3.4～13.0 m/min.

$$K = \frac{S}{nD} : 0.16 \sim 0.51, \text{ 振削角} : 30^\circ \sim 70^\circ$$

であった。¹⁾ そこで、本実験においてはこれらの値に基準。

$$\alpha = 45^\circ, 60^\circ, 70^\circ, n = 10 \sim 90 \text{ rpm}, K = 0.1 \sim 0.6$$

の範囲の値を採用する。

④ 実験結果と考察

前述のようす、回転数、スラング速度制御方式を採る場合の一つの指針として、以下実験値を K について整理した。(なお、この実験装置によるデータは数少なため当日発表するが、以下に述べる結果は43年度関西支部年次学術講演会において一部既報である²⁾4枚刃、振削角60度の装置によるものである。)

カッタが振削する土量の基準として、

$$V_0 = b \cdot h \cdot S \quad (\text{cm}^3/\text{sec}), \quad b: \text{刃長(cm)}, h: \text{振削深さ(cm)}, S: \text{スラング速度(cm/sec)}$$

を考える。ポンプにはこの値の約3倍を輸送できる揚水量を考えるが、実際に吸入した土量 V (単位時間当たり)と V_0 の比をとると以下のような。図-2に示すように、左スラングの場合、

$K = 0.4$ 付近で最大値をとり、右スラングの場合、 K の増大と共に $\frac{V}{V_0}$ は減少している。この $\frac{V}{V_0}$ は振削された土砂が吸入孔付近の水流にのりやすくなる程度を示すもので、ことに右スラングの場合、 K の値が適当でないと吸入効率は悪く、回転数をあげて振削土砂に攪乱を与える必要がある。次に、振削に要するトルクは振削率 α と振削速度 S の関数として、 $T = f(\alpha, S)$ で表わされると振削工量に対するトルク T/V_0 をみると、図-3に示すようになる。

T/V_0 の値が小なる程振削の効率が良いことを表わすが、やはり右

スラングの場合、回転数が小であると効率が非常に劣る。

[参考文献]

- 1). 例文は、長谷川謙太郎、内田正雄；ポンプ船標準船の比較規準並びに現有船の比較、港湾技術雑誌 No.7
- 2). 富、洋蔵、田岡、三浦；回転振削機について(第3報)，昭和43年度関西支部年次学術講演会 講演概要

	回転数 rpm	スラング方向
●	0.5	左
○	0.5	右
--○--	0.25	左
--◎--	0.25	右

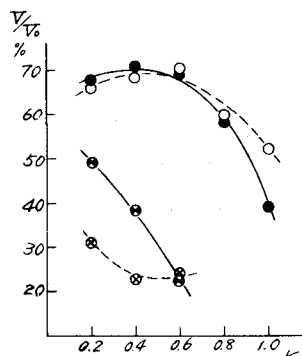


図-2. 吸入率と軌跡の関係

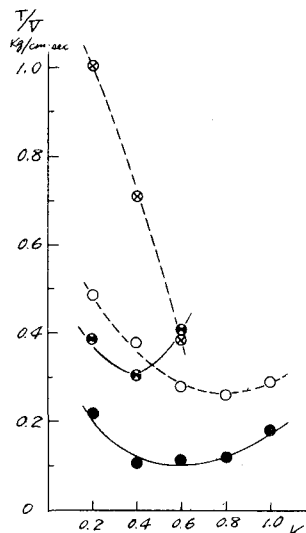


図-3. 振削効率と軌跡の関係